

ВЛИЯНИЕ ПРИМЕСНОГО ФЕРРОМАГНЕТИЗМА И ВНЕШНЕГО МАГНИТНОГО ПОЛЯ НА СОПРОТИВЛЕНИЕ МЕТАЛЛА С МАГНИТНЫМИ ПРИМЕСЯМИ

А.А. АБРИКОСОВ

(Получили: 1 апреля 1965)

Расчет, произведенный в [1] распространен на случай примесного ферромагнетизма и внешнего магнитного поля. Показано, что в зависимости от соотношения между T_{\max} (см. [1]), T_c (температуры Кюри) и μH возможны различные виды немонотонной зависимости сопротивления от температуры. Оказывается также, что сопротивление может уменьшаться с магнитным полем.

В предыдущей работе [1] было рассмотрено электрическое сопротивление немагнитного металла с малой примесью магнитных атомов. При этом оказалось, что часть сопротивления, связанная с обменным взаимодействием электронов с примесными атомами меняется с температурой. Если это взаимодействие имеет антиферромагнитный знак ($J < 0$), то эта часть сопротивления растет при понижении температуры и при некоторой температуре имеет максимум, после чего начинает падать. Температура не зависит от концентрации примеси.

На опыте (см. например [2]) были получены кривые с максимумом, однако, положение максимума существенно зависело от концентрации примеси. В настоящей работе показано, что это получается в результате примесного ферромагнетизма. Рассмотрено влияние на сопротивление внешнего магнитного поля (*)

1. Примесный ферромагнетизм

Для учета примесного ферромагнетизма и действия внешнего магнитного поля мы поступим в духе работы [3]. Из диаграмм для G и \mathcal{G} функций (см. [1]) мы выделим диаграммы первого порядка, изображенные на рис.1. Эти диаграммы равны нулю при отсутствии упорядочения спинов и отличны от нуля в рассматриваемом случае. Их можно рассматривать, как результат действия некоторого эффективного «поля» в одном случае на спин электрона, а в другом случае на спин примеси. Мы объединим это «поле» с настоящим магнитным полем и будем рассматривать примесь и электрон под действием некоторого суммарного поля, которое мы затем определим самосогласованным методом. «Свободные» гриновские функции будут иметь вид:

$$G = \frac{1}{i\omega - \xi + \sigma_z P} \quad (a) \quad \mathcal{G} = \frac{1}{i\omega - \lambda + S_z Q} \quad (b) \quad (1)$$

*) Влияние внешнего магнитного поля на сопротивление металлов с магнитными примесями было рассмотрено другим способом Л.Гуревичем и Ясиевичем. Эффект Кондо не учитывался.

Обозначения те же, что и в [1].



Рис. 1

Заметим, что процесс усреднения по спином примеси в данном случае должен производиться с учетом «поля» Q . Ввиду этого нормирующий множитель равен не $e^{\lambda/T}/(2S+1)$, а

$$e^{\lambda/T} / \left(\sum_{-s}^s e^{-MQ} \right) = e^{\lambda/T} \frac{\sinh(Q/2T)}{\sinh[(S + \frac{1}{2})/T]}$$

Из диаграмм 1a и b, и формул (1) получаем самосогласованные уравнения для P и Q (здесь и дальше $\hbar = 1$):

$$Q = g\mu_0 H + \frac{J}{N} \frac{p_0^m}{2\pi^2} S p_s T \sum_{\omega} \int d\xi \frac{\sigma z}{i\omega - \xi + \sigma z P}$$

$$P = \mu_0 H + \frac{N_i J}{N} \frac{e^{\lambda/T} \sinh(Q/2T)}{\sinh[(S + \frac{1}{2})/T]} S p_s T \sum_{\omega} \frac{S z}{i\omega - \lambda + S z Q}$$

(N_i — число атомов примеси в 1см^3 , μ_0 — магнетон Бора, $g \approx 2$ — гиромагнитный фактор примеси). Взяв суммы и интегралы и считая $\lambda \gg T$, получаем:

$$P = \mu_0 H + J c S B_S \left(\frac{S Q}{T} \right) \quad (a)$$

(2)

$$Q = g\mu_0 H + \frac{3ZJ}{2\epsilon_F} P \quad (b)$$

($B_s(x) = \frac{2S+1}{2S} \coth \frac{(2S+1)x}{2S} - \frac{1}{2S} \coth \frac{x}{2S}$ — функция Бриллюэна, z — число электронов на 1 атом, c — атомная концентрация). Если подставить 2b в 2a, то мы получим в точности условие (13) работы [3] (обозначения $s = \frac{\chi_0}{2\mu_0^2} P$, $\frac{\chi_0}{\mu_0^2} = \frac{p_0^m}{\pi^2}$, $a = \frac{2J}{N}$). С помощью уравнений (2) можно найти P и Q , а следовательно и «свободные» гриновские функции.

Для дальнейшего нам понадобятся некоторые оценки и предельные

выражения. Пусть $H = 0$. Считая аргумент в B_s малым и разлагая по нему в ряд, получаем соотношение:

$$P^2 = \frac{10CS(S+1)\epsilon_F}{3Z(S^2+S+\frac{1}{2})} (T_C - T) \quad (3)$$

где T_C — температура Кюри, равная

$$T_C = \frac{J^2 CZ S(S+1)}{2\epsilon_F} \quad (4)$$

Формула (3) справедлива вблизи T_C . Если же $T \ll T_C$, то

$$P = JCS \quad (5)$$

Что касается величины Q , то она, согласно (2), равна

$$Q = J \left[\frac{15}{2} \frac{CS(S+1)Z}{\epsilon_F(S^2+S+\frac{1}{2})} (T_C - T) \right]^{\frac{1}{2}}, \quad T_C - T \ll T_C$$

$$Q = \frac{3CZ J^2 S}{2\epsilon_F}, \quad T \ll T_C \quad (6)$$

Таким образом, при $T_C - T \ll T_C$ — $QS \ll T_C$, а при $T \lesssim T_C$ — $QS \sim T_C$.

Теперь рассмотрим, что происходит при наличии поля. Нас будет интересовать случай $\mu_0 H \gg T_C$ и $T \gg T_C$. Считая опять аргумент B_s малым, получаем:

$$P = \mu_0 H \left(1 + \frac{JCS(S+1)g}{3T} \right)$$

Условием применимости этой формулы является $g\mu_0 SH/T \ll 1$. В обратном предельном случае

$$P = \mu_0 H + JCS$$

Из (2) находим, что в обоих предельных случаях

$$Q \approx g\mu_0 H \quad (7)$$

Эти формулы будут полезны нам в дальнейшем.

2. Собственно энергетическая часть

Теперь рассмотрим рассеяние. В данном случае имеется несколько типов диаграмм, дающих вклад в собственно-энергетическую часть. Одна диаграмма соответствует [1] (рис. 2). Остальные изображены на рис. 3, где оба взаимодействия в каждой диаграмме относятся к одному атому (для простоты мы ограничились борновским приближением для обычного рассеяния). Диаграммы на рис. 3 равны нулю при отсутствии

поляризации спинов (*). Их вклад вычисляется очень просто и дает (во временной гринавской функции)

$$\sum_{\alpha\alpha'}^{(1)} = -i\pi \operatorname{sign} \omega \frac{P_0 m}{2\pi^2} \left[-2f_0(P - \mu_0 H)\sigma_Z + \frac{1}{N_i}(P - \mu_0 H)^2 \right]_{\alpha\alpha'}$$

где f_0 — амплитуда обычного рассеяния (предполагаемого для простоты изотропным), а P определено в предыдущем разделе. Что касается

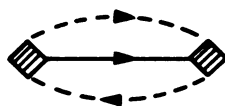


Рис. 2

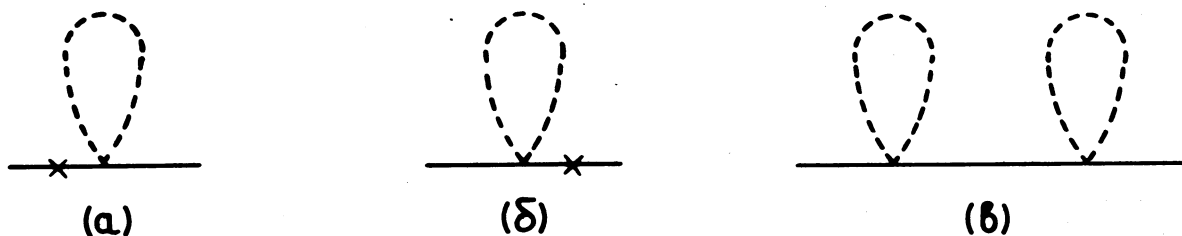


Рис. 3

диаграммы на рис. 2, то она вычисляется аналогично тому, как это было сделано в [1]:

$$\sum_{\alpha\alpha'}^{(2)} = i \operatorname{sign} \omega \frac{e^{\lambda/T} \sinh(Q/2T)}{\sinh[(S + \frac{1}{2})Q/T]} N_i \frac{P_0 m}{2\pi^2} \tag{8}$$

$$\times \int \Gamma_{\alpha\beta} \alpha_1 \beta_1(\omega, \omega_1; \omega + \omega_1 - \omega_2, \omega_2) \Gamma_{\alpha_2 \beta_2} \alpha' \beta_3(\omega + \omega_1 - \omega_2, \omega; \omega_1 \omega_1)$$

$$\times \operatorname{Im} \mathcal{G}^R_{\beta_3 \beta_1}(\omega_1) \operatorname{Im} \mathcal{G}^R_{\beta_1 \beta_2}(\omega_2) \operatorname{Im} G^R_{\alpha_1 \alpha_2}(\omega + \omega_1 - \omega_2)$$

$$\times \left(\tanh \frac{\omega_2}{2T} - \coth \frac{\omega_2 - \omega}{2T} \right) \left(\tanh \frac{\omega_1}{2T} - \tanh \frac{\omega + \omega_1 - \omega_2}{2T} \right) \frac{d\omega_1}{2\pi} \frac{d\omega_2}{2\pi}$$

*) В письме в редакцию ЖЭТФ, где очень кратко изложены результаты настоящей работы, эти члены не были учтены. Автор благодарен А.Ру-сину, обратившему на них его внимание.

Подставляя

$$\text{Im } \mathcal{G}_{\beta\beta_1}^R = -\pi \delta_{\beta\beta_1} (\omega - \lambda + S_{Z\beta} Q)$$

$$\text{Im } G_{\alpha\alpha_1}^R = -\pi \delta_{\alpha\alpha_1} (\omega - \xi + \delta_{Z\alpha} P)$$

взяв интегралы по ω_1 , ω_2 и ξ , и учитывая, что $\lambda \gg T$, получаем

$$\begin{aligned} \sum_{\alpha\alpha'}^{(2)} &= -i \text{sign } \omega N_i \frac{p_0 m}{2\pi} \frac{\sinh(Q/2T)}{\sinh[Q(2S+1)/2T]} \frac{e^{\omega/T+1}}{e^{\omega-QS_{Z\beta}/T} - e^{-QS_{Z\beta_1}/T}} \\ &\times \Gamma_{\alpha\beta, \alpha_1\beta_1} \left[\omega, \lambda - QS_{Z\beta}; \omega + Q \left(S_{Z\beta_1} - S_{Z\beta} \right), \lambda - QS_{Z\beta_1} \right] \\ &\times \Gamma_{\alpha_1\beta_1, \alpha'\beta} \left[\omega + Q \left(S_{Z\beta_1} - S_{Z\beta} \right), \lambda - QS_{Z\beta_1}; \omega, \lambda - QS_{Z\beta} \right] \end{aligned} \quad (10)$$

Ограничиваясь логарифмической точностью, мы можем, как и в [1], вычислять Γ с помощью «временной» техники при $T = 0$, и положить везде $\lambda = 0$. В [1] нижним пределом логарифмического интеграла была величина ω , и при вычислении проводимости оказывались существенными $\omega \sim T$. В данном случае положение меняется. Рассмотрим простейшую диаграмму на рис. 4.

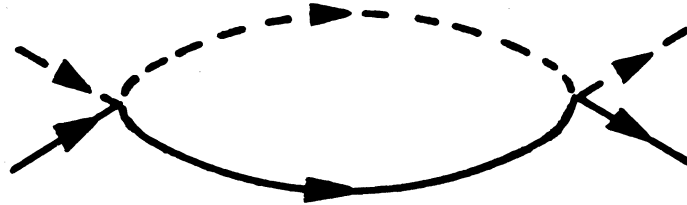


Рис. 4

Аналогично [1] (формула (10a)) получаем:

$$\begin{aligned} &-i \left(\frac{J}{N} \right)^2 \begin{pmatrix} \vec{\sigma} & \vec{S} \\ \sigma & S \end{pmatrix}_{\alpha\beta, \alpha_1\beta_1} \begin{pmatrix} \vec{\sigma} & \vec{S} \\ \sigma & S \end{pmatrix}_{\alpha_1\beta_1, \alpha'\beta'} \frac{p_0 m}{2\pi^2} \int \frac{d\omega_1}{2\pi} \int d\xi_1 \\ &\times \frac{1}{\omega_1 + QS_{Z\beta_1} + i\delta} \frac{1}{\omega - \omega_1 - \xi_1 + P_{\sigma_{Z\alpha_1}} + i\delta \text{sign}(\xi_1 - P_{\sigma_{Z\alpha_1}})} \\ &= \left(\frac{J}{N} \right)^2 \begin{pmatrix} \vec{\sigma} & \vec{S} \\ \sigma & S \end{pmatrix}_{\alpha\beta, \alpha_1\beta_1} \begin{pmatrix} \vec{\sigma} & \vec{S} \\ \sigma & S \end{pmatrix}_{\alpha_1\beta_1, \alpha'\beta'} \frac{p_0 m}{2\pi^2} \int_0^{\epsilon F} \frac{d\xi_1}{\xi_1 - QS_{Z\beta_1} - \omega - i\delta} \end{aligned} \quad (11)$$

(здесь сделана замена $\xi_1 - P\sigma_{z\alpha} \rightarrow \xi_1$). Отсюда видно, что величина P вообще не участвует в логарифмическом интеграле. Нижним пределом интеграла оказывается наибольшая из величин Q и ω , т.е. в окончательном результате $\max(Q, T)$. Так как логарифмический интеграл идет по области $\xi_1 \gg \max(Q, T)$, то выражение (11) сохраняет ту же спинорную форму, что и при отсутствии упорядочения спинов. Это же относится ко всем следующим порядкам для Γ .

Таким образом, в выражении (10) в качестве $\Gamma_{\alpha\beta}, \alpha_1\beta_1, \Gamma_{\alpha_1\beta_1}, \alpha'\beta$ можно согласно [1], подставить

$$\frac{\begin{pmatrix} \vec{\sigma} \\ \vec{S} \end{pmatrix}_{\alpha\beta, \alpha_1\beta_1} \begin{pmatrix} \vec{\sigma} \\ \vec{S} \end{pmatrix}_{\alpha_1\beta_1, \alpha'\beta}}{\left[1 + \frac{3JZ}{2\varepsilon_F} \ln \frac{\varepsilon_F}{\max(Q, |\omega|)}\right]^2} \quad (12)$$

Считая $|\omega| \sim T$, мы получаем, согласно предыдущему разделу, что если магнитное поле отсутствует или $g\mu_0 HS \ll T_c$, то при $T \gg T_c$ в (12) стоит $\ln \frac{\varepsilon_F}{T}$, а при $T \lesssim T_c$ $\ln \frac{\varepsilon_F}{T_c}$. Если же $g\mu_0 HS \gg T_c$, то при $T \gg g\mu_0 HS$ имеем $\ln \frac{\varepsilon_F}{T}$, а при $T \ll g\mu_0 HS$ $\ln \frac{\varepsilon_F}{g\mu_0 HS}$.

Однако в данном случае зависимость от температуры происходит не только от Γ , но и от предыдущего множителя в (10). Пользуясь спинорной формой Γ , (12) мы получаем

$$\begin{aligned} \sum_{\alpha\alpha'}^{(2)} &= -i \operatorname{sign} \omega N_i \frac{p_0^m}{2\pi} \frac{\sinh(Q/2T)}{\sinh[Q(2S+1)/2T]} \frac{1}{\left[1 + \frac{3JZ}{2\varepsilon_F} \ln \frac{\varepsilon_F}{\max(Q, |\omega|)}\right]^2} \\ &\times \sum_{M=-S}^S e^{QM/T} \left[M^2 + \frac{1}{2}(S+M)(S-M+1)(1-\sigma_Z)_{\alpha\alpha'} \frac{e^{\omega/T}}{e^{\omega/T} + e^{Q/T}} \right. \\ &\quad \left. + \frac{1}{2}(S+M+1)(S-M)(1+\sigma_Z)_{\alpha\alpha'} \frac{e^{\omega/T}}{e^{\omega/T} + e^{-Q/T}} \right] \quad (13) \end{aligned}$$

Взяв сумму по M , находим:

$$\sum_{\pm}^{(2)} = -i \operatorname{sign} \omega N_i \frac{p_0^m}{2\pi} \frac{1}{\left[1 + \frac{3JZ}{2\varepsilon_F} \ln \frac{\varepsilon_F}{\max(Q, |\omega|)}\right]^2} \quad (14)$$

$$\times \left\{ S(S+1) + SB_S \left(\frac{SQ}{T} \right) \left[\frac{e^{\omega/T} + 1}{e^{\omega/T} + e^{\mp Q/T}} \left(\coth \frac{Q}{2T} \mp 1 \right) - \coth \frac{Q}{2T} \right] \right\}$$

где знаки $+$ и $-$ относятся к разным ориентациям электронного

спина. Множитель в $\Sigma^{(1)} + \Sigma^{(2)}$ при $-\imath \text{sign} \omega$ мы обозначим через $1/2\tau_{\pm}$. Необменное рассеяние дает, как и раньше (см. [1]) дополнительное слагаемое в Σ , значительно большей величины (кроме окрестности «резонанса»).

Аналогично [1] получаем для проводимости

$$\sigma = \frac{ZN e^2}{2m} \int_0^{\infty} \frac{d\omega}{2T \cosh \frac{2\omega}{2T}} [\tau_+'(\omega) + \tau_-'(\omega)]$$

здесь $\tau_+'(\omega) = [1/\tau_{ord} + 1/\tau_+(\omega)]^{-1}$. Мы воспользовались тем, что величина $\tau_+'(\omega) + \tau_-'(\omega)$ симметрична относительно изменения знака ω . Считая $1/\tau_{ord} \gg 1/\tau_+(\omega)$ получаем $\rho = \rho_{ord} + \rho_{ex}$ (в ρ_{ex} включена и интерференционная часть; соответствующий член в $\Sigma^{(1)} \rho_{ex}$ дает вклад во втором порядке по J/f_0),

$$\rho_{ex} = \rho_{ex,0} \left\{ \left[1 - \frac{1}{S+1} B_S \left(\frac{SQ}{T} \right) \frac{\sinh \frac{Q}{T} - \frac{Q}{T}}{\coth \frac{Q}{T} - 1} \right] \left(1 + \frac{3JZ}{2\epsilon_F} \ln \frac{\epsilon_F}{\max(Q, T)} \right)^{-2} - 3 \frac{S}{S+1} B_S^2 \left(\frac{SQ}{T} \right) \right\} \quad (15)$$

где $\rho_{ex,0} = \frac{3\pi m J^2 S(S+1)C}{2N\epsilon_F e^2 \hbar}$ (обычные единицы), c — атомная концентрация.

Асимптотические значения равны:

$$\rho_{ex} = \rho_{ex,0} \left\{ \left[1 - \left(\frac{Q}{3T} \right)^2 \right] \left(1 + \frac{3JZ}{2\epsilon_F} \ln \frac{\epsilon_F}{T} \right)^{-2} - \frac{S(S+1)Q^2}{3T^2} \right\}, \quad Q \ll T \quad (16)$$

$$\rho_{ex} = \rho_{ex,0} \left\{ \frac{S}{S+1} \left(1 + \frac{3JZ}{2\epsilon_F} \ln \frac{\epsilon_F}{Q} \right)^{-2} - \frac{3S}{S+1} + \frac{1}{S+1} \left[\left(\frac{1}{S} - 2 + \frac{2Q}{T} \right) \left(1 + \frac{3JZ}{2\epsilon_F} \ln \frac{\epsilon_F}{Q} \right)^{-2} + 6 \right] e^{-Q/T} \right\}, \quad e^{-Q/T} \ll 1$$

Таким образом упорядочение спинов прекращает логарифмический рост сопротивления и, более того, приводит к уменьшению сопротивления благодаря замене $S(S+1)$ при логарифмическом множителе на S^2 и появлению дополнительного отрицательного слагаемого, происходящего в основном от интерференции с обычным рассеянием. Конечно, существует еще эффект возрастания сопротивления при наличии магнитного поля, связанный с обычным искривлением электронной траектории. О нем речь пойдет несколько позже.

Теперь рассмотрим как должна себя вести кривая $\rho(T)$ в различных

случаях. Если $J > 0$, то ρ_{ex} уменьшается с температурой. Это будет продолжаться до тех пор, пока T не станет порядка T_0 — температуры, при которой упорядочиваются спины. Согласно предыдущему это происходит при $T \sim QS$, т.е. при $T \sim \max(T_c, g\mu_0 SN)$. После этого $\rho \rightarrow \text{const.}$

Если же $J < 0$, то возможны разные случаи. При $Q = 0$ на полной кривой $\rho(T)$ в общем случае должен быть минимум, происходящий от сложения растущей с температурой обычной части сопротивления и падающей ρ_{ex} . Пусть он находится при температуре T_{min} . При более низкой температуре T_{max} имеется максимум, происходящий от полюса в (15). Если $T_0 \ll T_{max}$ то упорядочение на кривой $\rho(T)$ проявится следующим образом. Сохраняются как T_{min} , так и T_{max} . Температура T_{max} не зависит от концентрации примесей. При $T \lesssim T_0$ сопротивление $\rho(T) \rightarrow \text{const.}$

Если $T_{max} \ll T_0 \ll T_{min}$, то возникает то положение, которое, по-видимому, чаще всего наблюдается на опыте [2]. Сохраняется минимум $\rho(T)$. Старый максимум исчезает, но появляется новый. При приближении сверху к T_0 рост кривой $\rho(T)$ замедляется и сменяется падением, после чего $\rho(T)$ становится константой. Если магнитное поле отсутствует или мало, то $T_0 \sim T_c$, так что температура максимума примерно пропорциональна концентрации магнитных примесей. Если же $g\mu_0 HS \gg T_c$, то температура примерно пропорциональна H и не зависит от концентрации.

Наконец в случае $T_0 \gg T_{min}$ даже при $J < 0$ минимум на кривой $\rho(T)$ отсутствует.

Во всех случаях упорядочение приводит к уменьшению ρ_{ex} . Однако наряду с этим, как уже было отмечено выше, ρ_{ord} может увеличиваться под влиянием внутреннего магнитного поля. Если время между столкновениями $\tau \ll \frac{1}{\Omega}$, $\Omega = \frac{eB}{mc}$ B — среднее поле в образце, то поправка к сопротивлению имеет порядок $\rho_{ord}(\Omega\tau)^2$.

Эту величину надо сравнивать с изменением обменного сопротивления которое при $Q/T \ll 1$ имеет порядок $\rho_{ex}(\frac{Q}{T})^2$, а при $\frac{Q}{T} \gtrsim 1$ порядка самого ρ_{ex} .

Прежде всего возникает вопрос, не может ли в отсутствии внешнего поля увеличение ρ_{ord} при ферромагнитном переходе превзойти уменьшение ρ_{ex} . Согласно [3] в результате ферромагнитного перехода появляется внутреннее поле $B \sim 4\pi g\mu_0 SNc$. Если определить верхний предел $4\pi g\mu_0 SN$ из значения индукции насыщения B_{sat} для настоящих ферромагнетиков, то $\rho < 10^4 c$. Изменение ρ_{ord} не будет сказываться при

$$\tau \ll \sqrt{\frac{\rho_{ex}}{\rho_{ord}}} \frac{1}{\Omega}$$

Считая $\rho_{ex}/\rho_{ord} \gtrsim 10^{-2}$, получаем $\tau \ll \frac{10^{-12}}{c}$, или длину пробега $l \ll 10^{-4}/c$. Если оценивать l по формуле $l \sim 1/Ni\sigma \sim 1/N\sigma c$ и считать $N \sim 10^{23}/\text{см}^3$, $\sigma \sim 10^{-16}/\text{см}^2$, то $l \sim 10^{-6}/c$, т.е. наше требование заведомо выполнено даже в том случае, если в металле нет посторонних немагнитных примесей.

Теперь рассмотрим влияние внешнего магнитного поля. В соответствии с приведенными оценками магнитное поле вызовет понижение полного сопротивления, если

$$\max(T, \mu_0 H) \ll \frac{\hbar}{\tau} \sqrt{\frac{\rho_{ex}}{\rho_{ord}}} \quad (17)$$

При $\zeta \sim 10^{-3}$ справа стоит примерно $0,1^\circ\text{K}$. Остюда следует, что полное сопротивление может как увеличиваться при включении поля, так и уменьшаться. Можно подавить возрастание обычного сопротивления добавлением немагнитных примесей. Однако во всех случаях возрастание обычного сопротивления с полем есть эффект, не зависящий от температуры, а изменение обменной части, наоборот, сильно зависит от температуры.

ЛИТЕРАТУРА

1. А.А. Абрикосов, Физика (Physics), в печати.
2. А.Н. Gerritsen, J.O. Linde, Physica 17, 573, 584 (1951);
18, 877 (1952); А.Н. Gerritsen, Physica, 19, 61 (1953),
Н.Е. Алексеевский и Ю.П. Гайдуков, ЖЭТФ, 31, 947 (1956).
3. А.А. Абрикосов, Л.П. Горьков, ЖЭТФ 43, 2230 (1962).